

جغرافیا و توسعه شماره ۵۵ تابستان ۱۳۹۸

وصول مقاله: ۹۷/۰۲/۲۱

تأیید نهایی: ۹۷/۱۰/۰۹

صفحات: ۴۵ - ۶۲

واکاوی فصول دمایی ایران زمین و وردایی آن طی دهه‌های اخیر

دکتر سید ابوالفضل مسعودیان^{۱*}، دکتر محمد دارند^۲، گلalte ناظمی‌فرد^۳

چکیده

بدون شک با رخنمود تغییر اقلیم و گرمایش جهانی، فصول دمایی نیز جایه‌جا خواهند شد و شدت و ضعف این جایه‌جایی در مناطق مختلف به تبعیت از آن هم‌اندازه و یکسان نیست. هدف از این پژوهش، شناخت فصول دمایی ایران زمین و وردایی آن طی بازه زمانی ۱۳۷۰/۱/۱ تا تاریخ ۱۳۹۲/۱۲/۲۹ خورشیدی است. بهمنظور پایش مکانی نواحی تقویمی دمایی، نخست انحراف‌معیار ایستگاه‌های موردنظر در هرسال با انحراف‌معیار بلندمدت مقایسه شد. سپس میانگین بلندمدت (LTM) در قالب آرایه‌ای به ابعاد 366×49 برای هر یک از ایستگاه‌ها آرایش داده شد. تفاوت انحراف میانگین سالانه از میانگین کلی (Dev) جداگانه محاسبه شد. سرانجام سه آرایه با نام‌های آغاز فصل گرم (SWS) پایان فصل گرم (EWS) و طول دوره گرم (WSL) تشکیل شد. برای شناخت پهنه‌های همگن تحلیل خوشهای به روش ادغام وارد بر روی آرایه‌ها اعمال شد. درنهایت معناداری وردایی و آهنگ وردایی آغاز، پایان و طول دوره گرم، طی دوره مورد واکاوی به دست آمد. طی بازه زمانی مورد واکاوی آغاز و پایان فصول دمایی ایران زمین دستخوش وردایی معناداری شده است. بهطور کلی آهنگ کاهشی آغاز دوره گرم بیشتر از آهنگ کاهشی و افزایشی پایان دوره گرم بر روی ایستگاه‌های مورد واکاوی است. به نظر می‌رسد یافته‌های این پژوهش شواهد محکمی بر رخنمود گرمایش حاکم بر گستره ایران زمین و جایه‌جایی فصول و رژیم دمایی است.

واژه‌های کلیدی: جایه‌جایی فصول دمایی، تحلیل خوشهای، روند، ایران.

s.a.masoodian@geo.ui.ac.ir

m.darand@uok.ac.ir

golale.nazemifard@gmail.com

۱- استاد آب و هواشناسی، دانشگاه اصفهان، اصفهان، ایران *

۲- دانشیار آب و هواشناسی، دانشگاه کردستان، کردستان، ایران

۳- دانشجوی کارشناسی ارشد آب و هواشناسی، دانشگاه اصفهان، اصفهان، ایران

محیطی مانند تغییرات و نوسانات شدید دما مشخصه ذاتی آن است؛ بنابراین شناسایی تغییرات ایجادشده در مکان و زمان آغاز و پایان فصول طبیعی بهمنظور بررسی تأثیر آن بر اقلیم و مدیریت منابع طبیعی و کشاورزی و... ضروری است. همچنین استفاده از استراتژی‌های سازگار با تغییر اقلیم از شدت اثرات منفی آن خواهد کاست و علاوه بر آن، از فرصت‌های بهدست آمده می‌توان به نفع جامعه و بهویژه کشاورزان بهره برد. تطابق با تغییر اقلیم اگرچه مانع ورود خسارات نخواهد شد، ولی به مقدار زیادی هزینه‌ها را کاهش خواهد داد. پژوهش‌های زیادی دال بر اینکه فعالیت‌های انسانی عاملی بر تغییر و توزیع رخدادهای فرین دماست، صورت گرفته است. نتایج تحقیق‌های صورت گرفته در ایران و جهان حاکی از آن است که میانگین دما در قرن اخیر و همچنین در سال‌های آینده رو به افزایش است. با اینکه در زمینه تغییر اقلیم در سراسر جهان مطالعات زیادی با اهداف گوناگون انجام شده است؛ ولی درباره جابه‌جایی فصول پژوهشگران کارهای زیادی انجام نداده‌اند. افزایش فراوانی و شدت رخدادهای فرین با تغییر اقلیم در پیوند است. شواهد زیادی وجود دارد که فعالیت‌های انسان بر تغییرات دما بهویژه توزیع رخدادهای فرین دما تأثیرگذار است (Stott *et al.*, 2004: 611; Christidis *et al.*, 2005; Klein *et al.*, 2005:32 توجه به مطالعاتی که بر روی دمای اروپا صورت گرفته است، همه توافق نظر دارند که میانگین دما و فراوانی رخدادهای فرین دما در ۱۰۰ سال آینده رو به افزایش است (Weisheimer and Palmer, 2005; Bhutiyani *et al.*, 2007; Alexander *et al.*, 2006). بررسی دمای ایران نشان داد که گذشته از وجود چرخه در دمای کشور (عساکره، ۱۳۸۸: ۱۱) روند افزایشی دما در برخی مناطق دیده می‌شود (مسعودیان ۹۰: ۱۳۱۳). گذشته از تغییر در ویژگی‌های زمانی، ویژگی‌های مکانی نیز دستخوش تغییر شده‌است؛ برای

مقدمه

پدیده گرمایش جهانی در حال وقوع و اقلیم در حال تغییر است. اکنون با گذشت بیش از دو سده از حاکمیت صنعت بر جوامع بشر، تغییر اقلیم چالشی جهانی و تهدیدی جدی برای محیط زیست کره زمین بهشمار می‌رود. افزایش نا亨جاري های جوی نظير بارش‌های ناگهانی، وزش طوفان‌های شدید، خشکسالی و افزایش دما چند سالی است که در برخی نقاط ایران به چشم می‌خورد. بارش برف در شهرهای جنوبی و مرکزی ایران زمین پس از سال‌های طولانی، سرمای شدید و بارش تگرگ در فصل شکوفه‌دهی درختان، گل‌دهی درختان در فصل زمستان، تجربه دمای بالای ۴۰ درجه سانتیگراد در شهرهای کوهستانی، بدون شک از نشانه‌ها و نمایه‌های تغییر اقلیم در گستره ایران زمین است. از جمله مواردی که می‌توان براساس آن‌ها موضوع تغییر اقلیم را روشن تر بیان کرد، افزایش طول دوره رشد، افزایش دما و ذوبشدن یخ‌های قطب شمال و بالآمدن سطح آب‌ها، کاهش بارش و خشکسالی، افزایش رخداد سیلاب، امواج گرمایی و کاهش امواج سرما هستند که باعث مشکلات عدیدهای در سراسر جهان شده‌اند (درزند، ۱۳۹۰: ۲۰). بنابراین تغییر اقلیم، مفهومی است که بهسادگی نمی‌توان آن را تعریف کرد و با توجه به تعاریف متعددی که برای این واژه وجود دارد، تغییر در زمان آغاز و پایان فصول طبیعی (جابه‌جایی فصول) می‌تواند یکی از مصادیق تغییر اقلیم باشد که درنتیجه آن در هر مکانی شرایط برای بروز مشکلات مختلف فراهم می‌شود. از آنجا که دما عنصر شکل‌گیری اقلیم است، تغییرات آن می‌تواند ساختار آب‌وهوایی هر محل را دگرگون سازد؛ بهمین دلیل است که بررسی روند دما در مقیاس‌های مختلف زمانی- مکانی بخش بزرگی از تحقیقات اقلیم‌شناسی را به خود اختصاص داده است (مسعودیان، ۱۳۱۳: ۱۹). با توجه به اینکه ایران در منطقه جنوب حاره قرار گرفته، وقوع مخاطرات

بهویژه در زمینه کشاورزی بهشدت متأثر از مؤلفه‌های اقلیمی بهویژه دماست. آسیب‌پذیری جامعه نسبت به اثرات تغییرات و نوسان‌های دمایی انگیزه شناسایی و بررسی آن‌ها را بیشتر می‌کند (Darnell, ۱۳۹۰: ۴۵). از گذشته تاکنون روش‌های مختلفی برای طبقه‌بندی اقلیمی ارائه شده‌است، دست‌کم دو رویکرد برای طبقه‌بندی اقلیمی وجود دارد، یکی طبقه‌بندی‌های سنتی مانند طبقه‌بندی اقلیمی تورنت وایت و کوپن و دیگری رویکرد طبقه‌بندی نوین است که برخلاف رویکرد اول، معیار طبقه‌بندی و آستانه‌ها از پیش مشخص نیست؛ بلکه بسته به هدف طبقه‌بندی معیارها و آستانه‌ها به یاری روش‌های گوناگون داده‌آمایی می‌شوند؛ برای نمونه می‌توان به طبقه‌بندی شبه‌قاره هند توسط گادگیل و جوشی، غرب آفریقا توسط آنیاداک، چین توسط رونبرگ و وانگ و ایالات متحده توسط استینر و فاول اشاره کرد (Anyadyke, 1987:391; Fovel, 1992:380).

اسکرین و اسمیوندس (۲۰۱۰) در پژوهش‌های خود بر روی تجزیه و تحلیل چرخه‌های دما به این نتیجه دست یافته‌ند که چرخه دما بر روی اقیانوس‌های کلاهک‌های قطبی ضعیف شده‌است و همراه با تأخیر چرخه شروع می‌شود.

استاین و هیوبرس (۲۰۱۲) تغییرات چرخه فصلی دما و گردش جو را بر روی کل کره زمین بررسی کردند. یافته‌ها نشان داد که ارتباط قوی بین گردش‌های جوی و چرخه فصلی دما وجود دارد و چرخه فصلی دما بهشدت تحت تأثیر تغییرات در گردش جوی فصل بهار است؛ درحالی که شدت و میزان آن تحت تأثیر گردش جوی در فصل زمستان است.

بای و همکاران (۲۰۱۳) تغییرات طول دوره گرم دمای سالانه در عرض‌های بالا در اثر گرمایش جهانی تحلیل کردند. نتایج نشان داد که دوره گرم بر روی مناطق برون حاره هم‌دست و یکنواخت است.

نمونه براتی و موسوی (۱۳۸۴:۵۱) جایه‌جایی مکانی امواج فصل گرم زمستان ایران را به‌سوی البرز و آذربایجان گزارش کردند. مسعودیان (۱۳۸۳) روند دمای ایران در نیم سده گذشته را مورد مطالعه قرارداد. برای ارزیابی روندهای مثبت و منفی داده‌های دمای ماهانه ایران (دمای شبانه، روزانه و شبانه‌روزی) از ژانویه تا دسامبر ۲۰۰۰ بررسی شد. تحلیل روند دما نشان داده‌است که در نیم سده گذشته دمای شبانه، روزانه و شبانه‌روزی ایران به ترتیب با آهنگ حدود ۳، ۱ و ۲ درجه در هر صد سال افزایش داشته‌است. کاویانی و عساکر (۱۳۸۰) مطالعه‌ای با عنوان بررسی و مدل‌سازی روند دما طی سده گذشته (مطالعه موردی: ایستگاه جاسک) انجام دادند. دمای جاسک طی ۱۰۴ سال گذشته (سال‌های ۱۹۹۶-۱۸۹۳) روندی افزایشی را نشان می‌دهد. این روند با به‌کارگیری شیوه‌های آماری اثبات شد.

احمدی و احمدی (۱۳۸۹) تغییرات سالانه و فصلی دمای شهرستان ایلام را با استفاده از آمار بلندمدت ۴۰ ساله از سال ۱۹۶۴ تا ۲۰۰۳ بررسی کردند. نتایج بررسی نشان می‌دهد که در ۲۰ سال اخیر از تغییرات بیشتری برخوردار بوده‌است و روند تغییرات سری زمانی دمای منطقه افزایشی است. بارتولینی و همکاران (۲۰۰۸) روندهای اخیر در دمای تابستان توسکانی (ایتالیا) و شاخص‌های فرین آن را مورد تجزیه و تحلیل قراردادند. بدین‌منظور الگوهای تغییرات آب‌وهوای بهویژه شاخص‌های فرین دمای در طول دوره ۲۰۰۴-۱۹۵۵ را با استفاده از داده‌های ۴۰ ایستگاه و روند آن را نیز با آزمون من‌کنداش بررسی کردند. نتایج نشان داد، فرین‌های حداقل دمای افزایش یافته‌است و درنهایت افزایش دمای روزانه (DTR) در تابستان (۰/۰۶ در دهه) مشاهده شد. پیشروعی و پسروی دما و به‌طور کلی نوسانات دمایی پیامدهای زیان‌باری برای کشور خواهد داشت. فعالیت‌های انسان و محیط‌زیست

فصل‌های حرارتی نشان داد که زمستان و تابستان در زاهدان دیرتر شروع شده و دیرتر پایان می‌پذیرد. مسعودیان (۱۳۸۲) با استفاده از تکنیک‌های آماری، ۶ عامل و ۱۵ ناحیه اقلیمی را در ایران زمین شناسایی کرده‌است. مزیدی و همکاران (۱۳۸۸) برای استان یزد شش پهنه اقلیمی متفاوت را شناسایی کردند. شیرانی و همکاران (۱۳۸۸) در پژوهشی با عنوان پهنه‌بندی اقلیمی استان یزد به روش‌های آماری چند متغیره به این نتیجه رسیدند که استان یزد دارای شش پهنه اقلیمی متفاوت است. مسعودیان (۱۳۸۲: ۱۷۱) نواحی اقلیمی ایران را به روش نوین و رویکرد یاخته‌ای طبقه‌بندی کرد. وی نشان داد که اقلیم ایران ساخته شش عامل اقلیمی است که دما یکی از آن‌هاست. وی به کمک روش تحلیل خوش‌های، ایران را به پانزده ناحیه اقلیمی طبقه‌بندی کرد. از سوی دیگر، منظری و مسعودیان (۱۳۹۲: ۴) نواحی دمایی ایران را مشخص کردند و نشان دادند که در نقاط مختلف ایران زمین سازوکارهای گوناگونی در شکل‌گیری دما نقش دارند.

منتظری و مسعودیان (۱۳۹۲) در یک بررسی با هدف بررسی زمان آغاز و پایان فصل گرم و سرد سال ۲۸ به این نتیجه رسیدند که دوره گرم ایران از ۲۷ فروردین تا ۳ آبان و دوره سرد از ۴ آبان تا ۲۷ فروردین سال بعد به طول می‌انجامد و دوره‌های سرد و گرم ایران در همه‌جا همزمان آغاز نمی‌شود. هدف از این پژوهش پاسخ به این سؤال است که کدام نقاط ایران زمین همزمان با هم دوره گرم را آغاز و کدام نقاط همزمان دوره گرم را به پایان می‌رسانند. در اینجا می‌کوشیم تا با شناخت نواحی تقویمی دمایی، وردایی آغاز، پایان و طول دوره گرم، آهنگ وردایی و معناداری آن طی دوره مورد واکاوی را بررسی کنیم. منتظری (۱۳۹۰) نیز فصول‌دمایی ایران را بررسی کرده است.

تغییرات مکانی که در مناطق قطبی بر روی خشکی و اقیانوس‌ها وجود دارد، به دلیل گرمایش جهانی این تفاوت‌ها از بین خواهد رفت و رژیم دما حدود ۱۰ درجه قوسی به سمت مناطق قطبی در هر دو نیم‌کره جابه‌جا خواهد شد.

دیوان و همکاران (۲۰۱۷) چرخه سالانه دما را بر روی فلات تبت از سال ۱۹۷۰ به بعد بررسی کردند. نتایج حاصل از تحلیل آن‌ها بیانگر نقش فعالیت‌های انسانی از اواخر قرن نوزدهم به بعد بر روی دما و رفتار چرخه‌ای آن است و نقش فعالیت‌های انسان در آینده بر ضعیف شدن چرخه دما بیشتر خواهد شد و ضعیف شدن نوسان و چرخه دما بر حاصلخیزی و فعل و انفعالات اکوسيستمی نقشی پررنگ خواهد گذاشت. وانگ و دیلون (۲۰۱۴) بر روی کل کره زمین و من و پارک (۱۹۹۶) با مقایسه مقادیر دمای مشاهده شده و برآورده شده توسط مدل‌ها بر روی کره زمین به نتایجی مشابه دست یافتند.

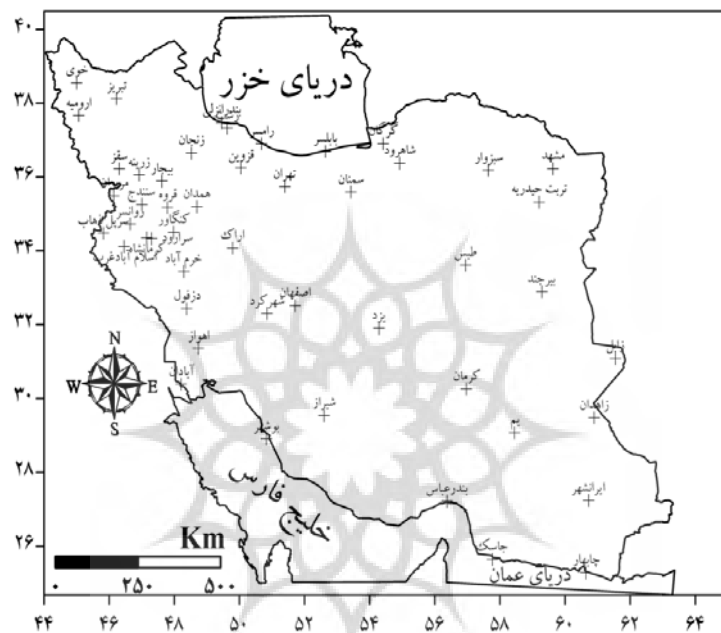
در زمینه مطالعات داخلی طبقه‌بندی اقلیمی ایران (حیدری و علیجانی، ۱۳۷۱؛ مسعودیان ۱۳۸۲: ۵۷؛ مسعودیان ۱۳۸۲: ۱۳۷۱) نیز نشان داده که دما از عوامل مهم تمایز اقلیمی نقاط مختلف ایران است. علیجانی (۱۳۷۷) در پژوهشی با هدف بررسی تفاوت فصول تقویمی و طبیعی بررسی کرد که ویژگی‌های گرمایی این دوره‌ها (فصل طبیعی) با واقعیت متدالو فصول (فصل تقویمی) مطابقت ندارد و در سواحل جنوبی کشور فقط فصل تابستان و بهار وجود دارد.

نظری‌پور و سعیدآبادی (۱۳۹۱) در پژوهشی به منظور تعیین فصول اقلیمی زاهدان از مجموعه داده‌های روزانه و ساعتی پارامترهای حرارتی در قالب ۲۱ متغیر در دوره آماری ۳۵ ساله با استفاده از روش تحلیل خوش‌های استفاده کردند؛ در نهایت به این نتیجه رسیدند که چهار فصل اقلیمی تمایز و متفاوت از فصل تقویمی بر زاهدان حاکم است. مطالعه

بین ۶۶۳ ایستگاه همدید در کشور، ۴۹ ایستگاه به عنوان نمونه برای بررسی انتخاب و موقعیت دقیق ایستگاه‌ها با استفاده از نرم‌افزار گوگل ارث^۱ مشخص شد. شکل ۱ موقعیت مکانی ایستگاه‌های همدید مورد واکاوی در این پژوهش را بر روی ایران زمین نشان می‌دهد.

مواد و روش‌ها

در این پژوهش از داده‌های روزانه سنجه دمای ایستگاهی پایگاه داده سازمان هواسناسی استفاده شد. بازه زمانی داده‌های استفاده شده از ۱۹۹۱/۳/۲۱ (۱۳۷۰/۱/۱ خورشیدی) تا ۲۰۱۴/۳/۲۰ میلادی (۱۳۹۲/۱۲/۲۹ خورشیدی) به مدت ۲۲ سال است. از



شکل ۱: موقعیت مکانی ایستگاه‌های مورد واکاوی بر گستره ایران زمین

تهیه و ترسیم: نگارندگان، ۱۳۹۱

ابعاد ۳۶۶×۴۹ برای هر یک از ایستگاه‌ها محاسبه شد. سرانجام با استفاده ازتابع میانگین بلندمدت در محیط مطلب، یک انحراف^۲ از میانگین کلی برای هریک از ایستگاه‌ها و یک انحراف از میانگین برای هر سال آماری جداگانه گرفته شد. میانگین بلندمدت مشخص می‌کند که به طور متوسط فصل گرم در هر ایستگاه چه روزی آغاز و چه روزی تمام می‌شود. سپس آغاز، پایان و طول دوره گرم محاسبه شد. لازم به ذکر است که تعیین آستانه برای فصل گرم شروع داده‌های مثبت متولی در نظر گرفته شد و بدین ترتیب سه آرایه به نام‌های (SWS) آغاز فصل گرم به ابعاد

در این پژوهش از نرم‌افزار متلب^۳ برای اجرای توابع و از نرم‌افزار سرفر^۴ برای ترسیم نقشه‌ها بهره برده‌یم. ابتدا انحراف معیار بلندمدت برای هر یک از ایستگاه‌های مورد واکاوی طی روزهای مختلف تقویمی سال محاسبه شد. سپس برای پایش مکانی نواحی تقویمی دمایی ایران زمین، انحراف معیار ایستگاه‌های موردنظر در هر سال با انحراف معیار بلندمدت مقایسه شد. قبل از انجام هرگونه تحلیلی، داده‌ها کنترل و آمار ناقص ایستگاه‌ها حذف شدند. پس از اطمینان از صحت داده‌ها میانگین بلندمدت^۴ در قالب آرایه‌ای به

1-Google Earth

2-Matlab

3-Surfer

4-Long Term Mean

روش آزمون ناپارامتریک منکندا اصلاح شده یکی از این روش‌هاست که در زیر به آن اشاره خواهیم کرد.

- آزمون منکندا اصلاح شده

آزمون منکندا اصلاح شده توسط حامد و رائو در سال ۱۹۹۸ ارائه شد. بدون شک تکرار داده‌های یکسان در سری زمانی داده‌ها منجر به خودهمبستگی در سری زمانی داده‌ها خواهد شد. برای حذف اثرات ضرایب خودهمبستگی معنی‌دار از سری زمانی آزمون منکندا اصلاح شده استفاده می‌شود؛ چراکه فرض اصلی استفاده از روش ناپارامتریک منکندا به‌منظور واکاوی تغییرات سری زمانی و روند، آن است که در مشاهدات، خودهمبستگی معناداری وجود نداشته باشد. برای حذف اثرات خودهمبستگی لازم است که اجزاء خودهمبستگی، از قبیل فرایند خودهمبستگی مرتبه اول قبل از انجام آزمون منکندا از سری زمانی داده‌ها حذف شود؛ این فرایند را «پیش‌سفیدکردن^۱» می‌نامند (میرعباسی نجف‌آبادی و دین پژوه، ۱۳۸۹). گام اول محاسبه آزمون ضریب خودهمبستگی مرتبه K ام (r_k) براساس رابطه زیر است:

$$r_k = \frac{\frac{1}{n-k} \sum_{i=1}^{n-k} (x_i - \bar{x})(x_{i+k} - \bar{x})}{\frac{1}{n} \sum_{i=1}^n (x_i - \bar{x})^2} \quad \text{رابطه ۲:}$$

که در آن $\bar{x} = \frac{n}{4}$ است.

اگر $\frac{1-1.96\sqrt{n-k-1}}{n-k} \leq r_k \leq \frac{1+1.96\sqrt{n-k-1}}{n-k}$ آنگاه داده‌ها در سطح ۵ درصد مستقل فرض می‌شوند و واکاوی روند به کمک روش من-کندا شناسایی می‌شود؛ اما اگر ضریب خودهمبستگی مرتبه K ام مستقل و معنی‌دار فرض شود، ابتدا واریانس اصلاح شده $(V(S)^*)$ از رابطه ۳ محاسبه می‌شود:

(EWS) پایان فصل گرم به ابعاد 63×49 (WSL) طول دوره گرم نیز به ابعاد 63×49 تشکیل شد. در گام بعدی تفاوت انحراف سالانه از میانگین کلی برای هر ایستگاه محاسبه و بدین ترتیب در هر ایستگاه میزان پیشروی و پسروی فصل گرم مشخص شد. سپس برای شناخت پهنه‌های همگن مکانی، ابتدا فواصل اقلیدسی به دست آمد و تحلیل خوش‌های به روش ادغام وارد بر روی چهار سری از داده‌ها اعمال شد. درنهایت با استفاده از آزمون ناپارامتریک منکندا اصلاح شده وردایی آغاز، پایان و طول دوره گرما، آهنگ وردایی و معناداری آن طی دوره مورد واکاوی مشخص شد.

- خوش‌بندی

اعمال تحلیل خوش‌های در دو گام اساسی صورت می‌گیرد: گام اول، محاسبه درجه همانندی عضوها با یکدیگر و از بین بردن فاصله اقلیدسی و گام دوم چگونگی ادغام عضوها بر حسب درجه همانندی با همدیگر. بسته به روشی که برای محاسبه درجه همانندی و چگونگی ادغام انتخاب می‌کنیم، یک تحلیل خوش‌های را می‌توان به شیوه‌های مختلفی اجرا کرد (مسعودیان، ۱۴۰۶). در مطالعات اقلیدسی شناسی برای محاسبه درجه ناهمانندی (همانندی) از فاصله اقلیدسی استفاده می‌شود:

$$\text{رابطه ۱: } d$$

خوش‌بندی یکی از روش‌های طبقه‌بندی است که براساس دو روش همبستگی و فاصله اقلیدسی بین نقاط یا نقشه‌ها انجام می‌گیرد.

تغییر، جهش و ناهمگنی سری زمانی اقلیدسی ویژگی‌ای است که در هر نقطه و مکانی از کره زمین ممکن است مشاهده شوند. این گونه تغییرات ممکن است دلایل طبیعی یا غیرطبیعی داشته باشند. برای شناخت نقاط تغییر روش‌های مختلفی ارائه شده‌است.

تخمینگر شیب سن برابر با میانه N مقدار Q_i است که به کمک رابطه زیر محاسبه می شود.

$$\text{رابطه ۳: } Var(s)^* = Var(s) \frac{n}{n^*}$$

رابطه ۴:

$$\text{رابطه ۹: } C = \frac{n}{n^*} = 1 + \frac{2}{n(n-1)(n-2)} \sum_{i=1}^{n-1} (n-i)(n-i-1)(n-i-2)r_i$$

اگر N : فرد باشد، از رابطه اول و اگر زوج باشد از رابطه دوم استفاده می شود. سرانجام باید C_a : در سطوح اطمینان موردنظر به کمک رابطه زیر حساب شود.

که در آن r_i ضرایب همبستگی با تأخیر i است که از رابطه ۵ محاسبه می شود و برای محاسبه Z از واریانس یا $Var(S)^*$ استفاده می شود.

رابطه ۵:

$$\text{رابطه ۱۰: } C = \frac{n}{n^*} \text{ if } n > 10 \quad \text{رابطه ۶: } Var(S) = \frac{n(n-1)(2n+5) - \sum_{i=1}^m t_i(t_i-1)(2t_i+5)}{18}$$

که در آن Z آماره توزیع نرمال استاندارد است. گام بعد محاسبه حدود اعتماد بالا و پایین (M_1 و M_2) است که بر پایه روابط زیر به دست خواهد آمد.

$$\left\{ \begin{array}{l} \text{رابطه ۱۱: } \\ \end{array} \right.$$

که N' : تعداد شیب های محاسبه شده در گام های نخستین است.

که n : تعداد داده های مشاهده ای، m : معرف تعداد سری هایی است که در آن ها حداقل یک داده تکراری وجود دارد و t : نشان دهنده فراوانی داده های با ارزش یکسان است.

- شیب سن (Sen)

همانند آزمون من کندال اصلاح شده، آزمون تخمینگر شیب سن نیز یک روش ناپارامتریک است که توسط سن در سال ۱۹۶۸ ارائه شد. اگر فرض کنیم که مدل خطی $f(t)$ به صورت زیر باشد:

$$\text{رابطه ۷: } f(t) = Qt + B$$

که Q : شیب و B : ثابت و عرض از مبدأ است که برای محاسبه شیب همه جفت داده ها از رابطه زیر استفاده می شود.

$$\text{رابطه ۸: } Q_i = \frac{(x_j - x_k)}{j - k}, i = 1, 2, \dots, N, j > k$$

یافته های پژوهش پنهان بندی بر اساس متوسط انحراف از میانگین داده ها همان طور که بیان شد، برای شناخت مناطق همگون و یکدست تقویمی دما بر روی گستره ایران زمین تحلیل خوش ای به روش ادغام وارد بر روی آرایه متوسط انحراف از میانگین تقویمی دما، طول دوره تقویمی، شروع و پایان آن انجام شد.

شکل ۲ لانه گزینی ایستگاه ها بر اساس متوسط انحراف از میانگین داده ها را نشان می دهد. یافته های حاصل از این پژوهش نشان داد که می توان گستره ایران زمین را به لحاظ انحراف از میانگین بلند مدت دما به چهار پنهان مختلف تقویمی دما دسته بندی کرد.

ناحیه سوم: این گروه شامل دو ایستگاه جاسک و چابهار است که به لحاظ مکانی، موقعیتی مشابه با گروه دوم دارد؛ یعنی در مجاورت پهنه‌آبی قرار گرفته است؛ با این تفاوت که شکل‌گیری این قلمرو متأثر از زاویه تقریباً عمود خورشید و عرض جغرافیایی پایین‌تر است. با توجه به جدول زمان‌بندی، این ناحیه آغاز دوره گرم را از بیستوهفتمن فروردین و پایان آن را در روز نهم آبان تجربه می‌کند. این روند نشان می‌دهد که آغاز فصل گرم در این گروه با تقویم رسمی سال هماهنگ ندارد و زودتر از دوره گرم قبلی رخ می‌دهد. مقدار متوسط دمای سالانه برای این ناحیه برابر با $26/6$ درجه سلسیوس است که بیشترین مقدار را نسبت به سایر گروه‌های دیگر تجربه می‌کند. طول دوره گرم نیز 198 روز است که نسبت به سایر مناطق دیگر گستره ایران‌زمین بیشینه است. متوسط بیشینه دمای ثبت شده برای این ناحیه $32/3$ درجه سلسیوس و متوسط کمینه دما برابر با $19/6$ درجه سلسیوس محاسبه شد که نسبت به سایر نواحی دیگر شناخته شده در این پژوهش، دامنه تغییرات دمایی کمتری را تجربه می‌کند. فصل زمستان در این قلمرو معنای واقعی نداشته و در طول سال هرگز دمای زیر صفر را تجربه نکرده است.

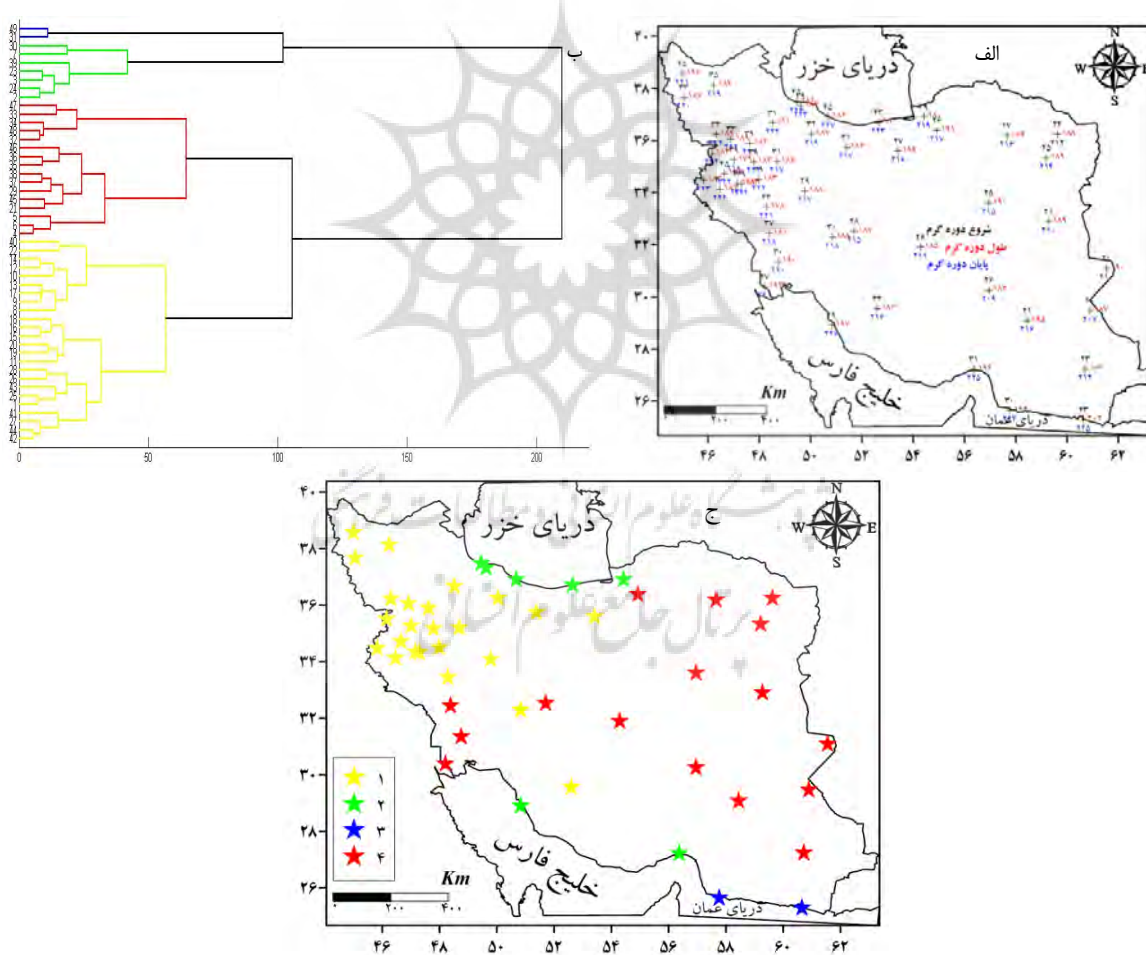
ناحیه چهارم: این ناحیه به لحاظ گستره مکانی نسبت به سایر نواحی دیگر مساحت بیشتری را دربر گرفته است. به لحاظ پراکنش مکانی، این ناحیه شامل نیمه شرقی ایران‌زمین، ایران میانی و بخش‌های از جنوب‌غرب کشور است. دوره گرم برای این گروه از بیست و پنجم فروردین آغاز شده و در بیستوهشتم مهر به پایان می‌رسد. به بیانی دیگر، آغاز دوره گرم در این قلمرو زودتر از سایر نواحی دیگر شروع می‌شود و زودتر نیز خاتمه می‌یابد. طول دوره گرم در این ناحیه برابر با $188/5$ روز محاسبه شد. متوسط دمای سالانه

ناحیه اول: به لحاظ توزیع مکانی، مناطق غرب، شمال‌غرب، بلندی‌های البرز و زاگرس را دربر دارد. متوسط دمای سالانه $13/7$ درجه سلسیوس است. در مقایسه با سایر نواحی تقویمی دمایی دیگر شناخته شده بر روی ایران، کمترین دما را تجربه می‌کند. به طور متوسط دوره گرم در این ناحیه از 4 اردیبهشت شروع می‌شود و در 4 آبان پایان می‌یابد. طول دوره گرم در این ناحیه $184/8$ روز است که در مقایسه با سایر نواحی تقویمی دیگر به نسبت کمتر است. ارتفاع نقش بسیار مهمی بر روی دمای ثبت شده در این ناحیه دارد و درنهایت کوتاه‌بودن دوره گرم به دنبال دارد. متوسط بیشینه دمای ثبت شده بر روی این ناحیه برابر با 27 درجه سلسیوس است که در 31 تیر رخنمود دارد. این ناحیه کمترین دما در 28 دی تجربه می‌کند که در آن دما به زیر صفر درجه می‌رسد ($-0/68$ درجه سلسیوس). در این ناحیه دامنه دمای سالانه نسبت به سایر نواحی دیگر بیشتر است.

ناحیه دوم: شامل کرانه‌های خزر و خلیج‌فارس است. به طور متوسط دوره گرم برای این ناحیه از روز هشتم اردیبهشت تا هشتم آبان به طول می‌انجامد. آغاز و پایان دوره گرم در دو گروه اول و دوم، چهار روز اختلاف دارند. متوسط دمای سالانه در این ناحیه بیشتر از ناحیه اول است و نرخ آن برابر با $19/3$ درجه سلسیوس است. همسایگی با منابع رطوبتی دریای خزر و خلیج‌فارس دلیل اصلی افزایش نسبی دما نسبت به ناحیه اول است؛ زیرا در فصول سرد سال، مهیابودن رطوبت جوی مانع از کاهش دما و درنهایت تعديل دما در این ناحیه می‌شود. طول دوره گرم در این ناحیه $185/4$ روز است. این ناحیه بیشترین دما را در 7 مرداد تجربه می‌کند که حدود 29 درجه سلسیوس است. متوسط کمینه دما نیز برابر با $9/27$ درجه سلسیوس بوده که در 5 بهمن رخ می‌دهد.

سایر نواحی دیگر، یک منطقه بسیار خشک است که کمترین ظرفیت گرمایی را دارد؛ به بیانی دیگر، با کمترین گرمای رسیده به رویه زمین، بیشترین واکنش را از خود نشان می‌دهد و بنابراین زود گرم می‌شود. در آن سوی دیگر در صورتی که میزان انرژی و گرمای رسیده به رویه کم شود، بسیار سریع سرد می‌شود؛ بنابراین انتظار می‌رود که با شروع دوره گرمای این منطقه زودتر از سایر نواحی، دوره گرم را آغاز کند و در آن طرف با شروع دوره سرد، پایان دوره گرمای را زودتر تجربه کند.

این ناحیه $19/8$ درجه سلسیوس است. کمینه دمای ثبت شده در این ناحیه $6/3$ درجه سلسیوس و بیشینه دما $32/1$ درجه تخمین زده شد که علت بالابودن دامنه دمایی را می‌توان به خشکبودن جو منطقه از لحاظ رطوبت و فقر پوشش گیاهی نسبت داد. دوربودن از پهنه‌های بزرگ آب و نقش مانع رشته کوههای البرز در شمال و رشته کوههای زاگرس در غرب ایران زمین منجر به خشکبودن جو بر روی ناحیه می‌شود. دریافت ناچیز بارش در طول سال فقر پوشش گیاهی را به دنبال دارد. این ناحیه نسبت به



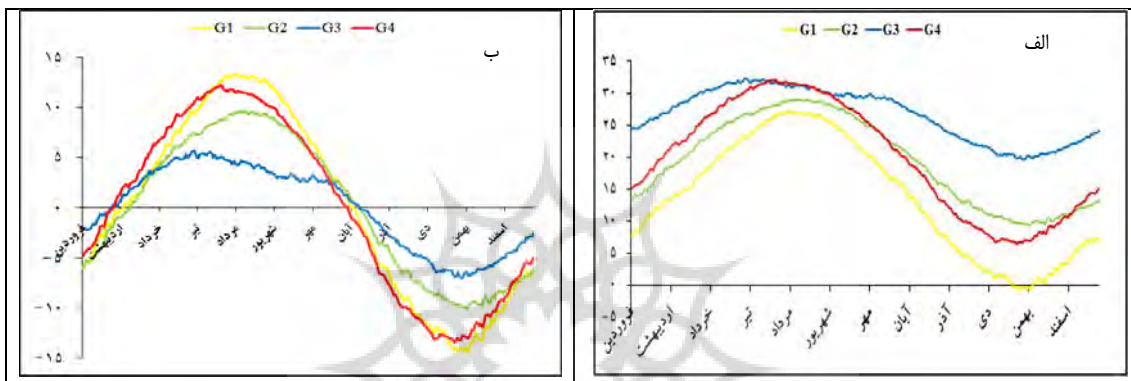
شکل ۲: (الف) زمان‌بندی آغاز (مشکی)، پایان (آبی) و طول دوره گرم (سرخ) ایستگاه‌ها براساس روز تقویمی؛

(ب) دارنما؛ (ج) پهنه‌بندی تقویمی نواحی دمایی ایران زمین

جدول ۱: زمان‌بندی آغاز، پایان و طول دوره گرم براساس روز تقویمی

گروه	آغاز دوره گرم	پایان دوره گرم	طول دوره
اول	۴ اردیبهشت	۴ آبان	۱۸۵ روز
دوم	۸ اردیبهشت	۸ آبان	۱۸۵ روز
سوم	۲۷ فروردین	۹ آبان	۱۹۸ روز
چهارم	۲۵ فروردین	۲۸ مهر	۱۸۸ روز

مأخذ: نگارندگان، ۱۳۹۸



شکل ۳: (الف) آهنگ میانگین بلندمدت دمای چهار ناحیه شناخته شده در طول سال

ب) آهنگ میانگین بلندمدت انحراف معیار دمای چهار ناحیه شناخته شده در طول سال

تهیه و ترسیم: نگارندگان، ۱۳۹۸

ناحیه دوم: با توجه به شکل ۵، این گروه از ایستگاه‌ها شامل بندر انزلی، رشت، رامسر، بابلسر، گرگان و خوی است. همان‌طور که ملاحظه می‌شود، منبع رطوبتی دریای خزر برای ایستگاه‌های واقع در این ناحیه و عرض جغرافیایی برای ایستگاه خوی یک نقش کلیدی در طول دوره گرم این ناحیه ایفا می‌کند. طول دوره گرم در این ناحیه ۱۸۱/۸ روز است.

ناحیه سوم: پراکندگی ایستگاه‌ها در ایران میانی و نیمه شرقی کشور حاکی از خشکی منطقه و نبود رطوبت جو است. چگونگی توزیع زاویه خورشید، ظرفیت گرمایی پایین و اختلاف بالای دامنه دمای شب و روز از ویژگی‌های این ناحیه است که این خود افزایش روزهای گرم را به دنبال دارد. طول دوره گرم برای این منطقه ۱۸۲/۳ روز محاسبه شد که به مراتب از دو گروه قبلی بیشتر است. خشکیدن جو در این

- پهنه‌بندی براساس طول دوره گرم

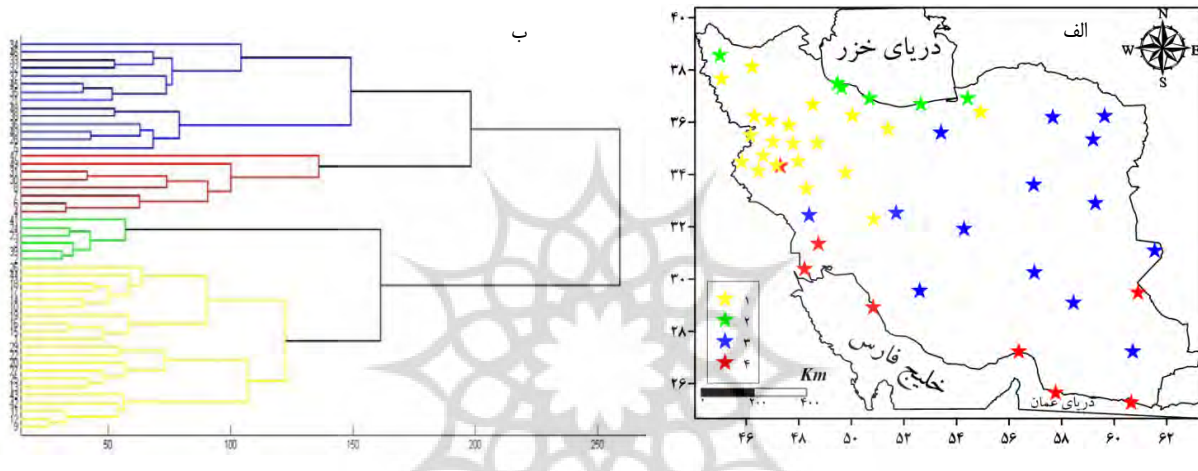
براساس این پهنه‌بندی که بر روی آرایه داده‌های طول دوره گرم (WSL) انجام شد، مناطقی که دوره گرم آن‌ها یک بازه زمانی مشترک دارند، در یک رسته جای گرفتند. شکل ۶ توزیع مکانی این ایستگاه‌ها را نشان می‌دهد. ویژگی‌های هریک از ایستگاه‌های مورد واکاوی در زیر به تفصیل آمده است.

ناحیه اول: تمرکز قابل توجه ایستگاه‌ها در غرب و شمال‌غرب ایران زمین و استقرار بر روی رشته‌کوه‌های البرز و زاگرس آشکارا بیانگر این نکته است که شکل‌گیری این ناحیه متاثر از ارتفاع و عرض جغرافیایی بالاست. تعداد روزهای گرم این ناحیه ۱۷۸/۸ روز است که نسبت به سایر گروه‌ها کمتر است. ارتفاع، مهم‌ترین نقش را در کاهش طول دوره گرم در این ناحیه دارد.

از دلایل شکل گیری این منطقه است. طول دوره گرم در این ایستگاه ۱۹۴/۴ روز است. ساکنان این منطقه نسبت به سایر ایستگاه‌ها طولانی‌ترین دوره گرم را در ایران زمین تجربه می‌کنند. عرض جغرافیایی در این ناحیه نسبت به ایستگاه‌های گروه سوم نقش مهم‌تری در طول دوره گرم دارد.

ناحیه نسبت به عرض جغرافیایی در ایستگاه‌های گروه اول و منبع رطوبتی در ایستگاه‌های گروه دوم نقش مؤثرتری دارد.

ناحیه چهارم: این ناحیه شامل ایستگاه‌های حوضه خلیج فارس و دریای عمان است. زاویه میل خورشیدی و قرار گرفتن در عرض‌های پایین‌تر، تعديل دما به واسطه تأمین رطوبت موردنیاز از پهنه‌های آبی



شکل ۵: (الف) پهنه‌بندی ایستگاه‌ها براساس طول دوره گرم؛ (ب) دارنامه پهنه‌بندی ایستگاه‌ها براساس طول دوره گرم

تهریه و ترسیم: نگارندگان، ۱۳۹۸

جدول ۴: طول دوره گرم به تفکیک گروه

گروه	طول دوره فصل گرم
اول	۱۷۸/۷
دوم	۱۸۱/۸
سوم	۱۸۲/۳
چهارم	۱۹۴/۴

مأخذ: نگارندگان، ۱۳۹۸

سبب جهش‌های ناگهانی، رفتارهای غیرطبیعی و غیرقابل تفسیری در سری زمانی شوند (دارندگان، ۱۳۹۳)، بنابراین قبل از پرداختن به هرگونه تحلیلی بهویژه نوسان و تغییرات اقلیمی آگاهی از همگنی سری زمانی سنجه‌های جویی بسیار ضروری است. معناداری ناهمگنی سری زمانی داده‌ها بیانگر وجود

- روند آغاز، پایان و طول دوره گرم با روی گستره ایران زمین

با توجه به اینکه داده‌های اقلیمی هر مکان شرایط آن مکان را طی زمان خاصی نشان می‌دهد، ممکن است به دلایل طبیعی یا غیرطبیعی سری زمانی داده‌های ثبت شده دچار ناهمگنی شوند که گاه این تغییرات

برخی ایستگاه‌ها، آغاز دوره گرما و فصل رویش بهاره از اوخر اسفند شروع می‌شود. بیشترین آهنگ وردایی کاهشی آغاز دوره گرما مربوط به ایستگاه زابل است که نرخ آن برابر با ۱۲ روز بهاری هر دهه است. با توجه به متوسط بلندمدت شروع دوره گرما (۲۰ فروردین) و دوره آماری مورد واکاوی در این ایستگاه (۱۳۴۶ تا ۱۳۹۲) می‌توان گفت که طی بازه زمانی یادشده $\frac{56}{4}$ روز آغاز دوره گرما زودتر از موعد همیشگی خود (۲۰ فروردین) شروع می‌شود. به بیانی دیگر می‌توان گفت که آغاز فصل بهار و شروع گرما بر روی ایستگاه یادشده از اوخر دهه سوم بهمن شروع می‌شود. همچنین ایستگاه‌های بندرآزلى و رشت در کرانه جنوبی دریای خزر با میزان آهنگ ۱۰ روز بهاری هر ده سال در همان سطح اطمینان بعد از ایستگاه زابل بالاترین مقدار شیب کاهشی را تجربه می‌کنند. نرخ شیب ایستگاه همدان در غرب کشور $0/67$ - بهاری هر ده سال است که نسبت به سایر ایستگاه‌ها کمینه است، اما به لحاظ آماری شیب کاهشی آن در سطح ۹۰ درصد معنادار نیست. دو ایستگاه اصفهان و شهرکرد با میزان آهنگ شیب کاهشی تقریباً $1/5$ روز بهاری هر ده سال در سطح اطمینان 90 درصد روند معناداری را از خود نشان داده‌اند. به طور کلی بر پایه آهنگ کاهشی آغاز دوره گرما در اغلب ایستگاه‌های مورد واکاوی می‌توان گفت که شروع زودهنگام دوره گرما در ایستگاه‌های مورد واکاوی تأییدی بر گرمایش گستره ایران و جابه‌جایی فصول و رژیم دمایی ایران‌زمین است.

ب-پایان دوره گرم

نگاره (۶ ب) نتیجه برآش آزمون من کندال اصلاح شده بر روی سری زمانی داده‌های پایان دوره گرمای ایستگاه‌های مورد واکاوی را نشان می‌دهد. همان‌طور که این نگاره نشان می‌دهد، پایان دوره گرما

روند در داده‌هاست که به کمک آزمون ناپارامتریک من کندال اصلاح شده در این پژوهش شناسایی شد. این آزمون برای سه آرایه آغاز، پایان و طول دوره گرم انجام گرفت و معناداری روند در سه سطح اطمینان ۹۰، ۹۵ و ۹۹ درصد بررسی شد. نرخ شیب تغییرات همراه با سطح معناداری در نگاره ۶ آمده است.

الف- آغاز دوره گرم

مطابق با نتایج به دست آمده از برآش آزمون من کندال اصلاح شده بر روی سری زمانی داده‌های آغاز دوره گرم می‌توان گفت که وردایی حدود $67/5$ درصد ایستگاه‌های مورد واکاوی (۳۳ ایستگاه) در سطح اطمینان ۹۰ درصد معنادار است. همان‌طور که در شکل (۶ الف) ملاحظه می‌شود، بر روی اغلب ایستگاه‌های دارای روند معنادار، آهنگ وردایی کاهشی است و تنها بر روی ایستگاه‌های جاسک و سرارود آهنگ وردایی آغاز دوره گرمایشی معنادار است. به طور متوسط میانگین آهنگ کاهشی زمان آغاز دوره گرمایشی ایران‌زمین طی دوره مورد واکاوی $4/5$ روز بهاری دهه است. کاهش زمان شروع دوره گرمایشی در ایستگاه‌های واقع در مناطق شمالی کشور، کرانه‌های جنوبی دریای خزر، شمال غرب، غرب، رشت، کوه‌های البرز، جنوب شرق و به طور محدودی در شمال شرق گستره ایران‌زمین مشاهده می‌شود. نرخ وردایی بر روی نقشه که با رنگ آبی نشان داده شده است، آهنگ وردایی را بهاری دهه نشان می‌دهد. اگرچه سایر ایستگاه‌های مورد واکاوی روند وردایی معناداری را در سطح اطمینان یادشده تجربه نکرده‌اند، ولی همان‌طور که ملاحظه می‌شود آهنگ وردایی شروع دوره گرمایشی دوره مورد واکاوی بر روی اغلب ایستگاه‌های ایران‌زمین کاهشی است؛ به بیانی دیگر، این مطلب گویای آن است که در ایران‌زمین فصل بهار زودتر از موعد همیشگی خود شروع می‌شود و برپایه آهنگ وردایی گزارش شده در

۷۷/۰، ۲ روز بهازای هر دهه است. بهطور کلی نتایج حاصل از این پژوهش بیانگر آن است که آهنگ کاهشی معنادار پایان دوره گرما بر روی ایستگاه‌های مورد واکاوی کمتر از آهنگ کاهشی آغاز دوره گرما است؛ برای نمونه در ایستگاه اصفهان نرخ کاهشی پایان دوره گرما ۰ روز بهازای هر دهه است؛ در حالی که نرخ کاهشی آغاز دوره گرما $5/2$ روز بهازای دهه است. نتیجه این امر افزایش طول دوره گرما بهدلیل شتاب بیشتر آهنگ کاهشی آغاز دوره گرما بر روی گستره ایران زمین خواهد بود که در زیر به روند وردایی طول دوره گرما اشاره خواهد شد.

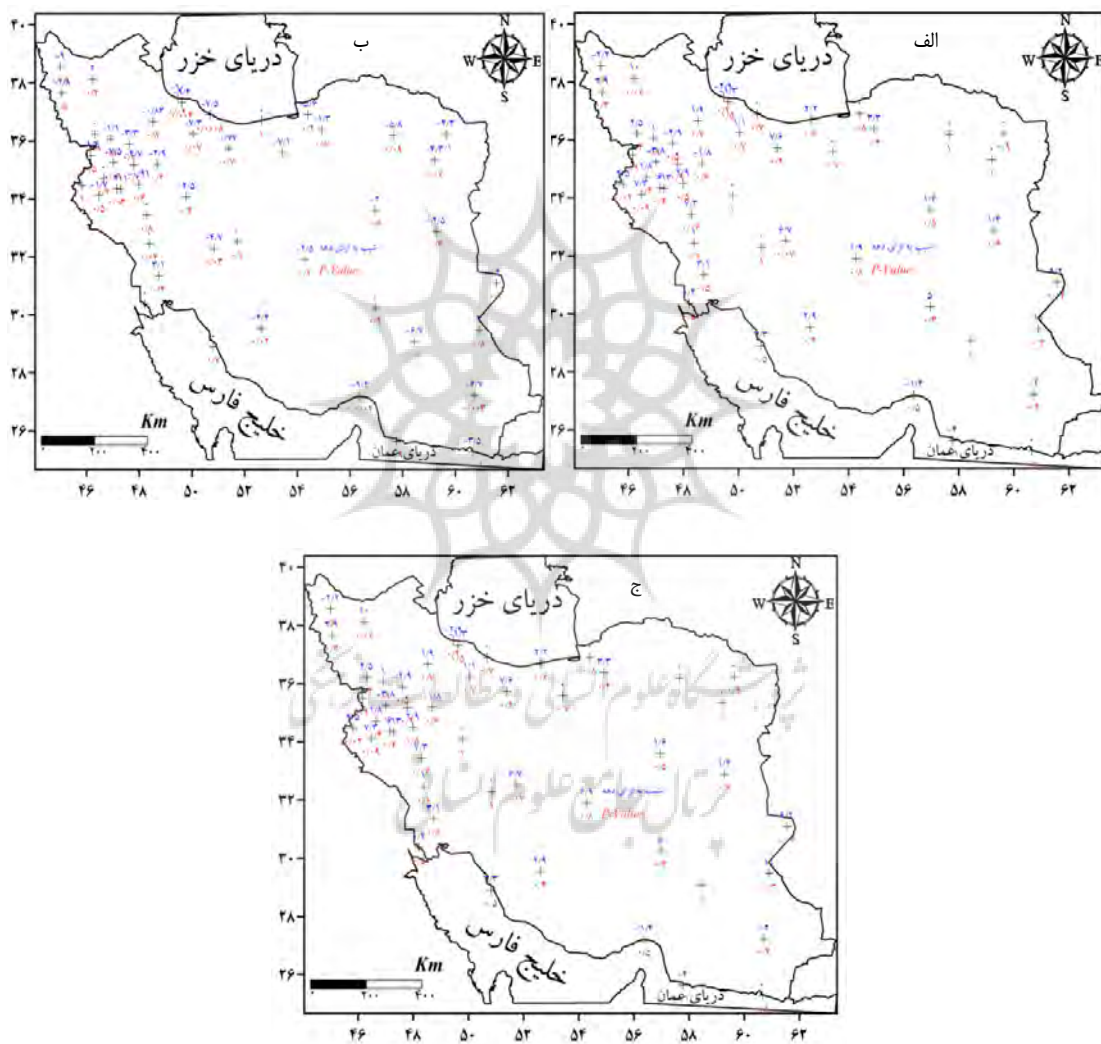
ج- طول دوره گرم

وردایی طول دوره گرما، آهنگ وردایی و معناداری آن طی دوره مورد واکاوی بر روی نگاره (۶ ج) نشان داده شده است. یافته‌ها نشان داد که بر روی ۲۰ درصد از ایستگاه‌های واقع بر گستره ایران زمین، آهنگ وردایی طول دوره گرما در سطح اطمینان ۹۰ درصد معنادار است. ایستگاه‌هایی که روند معناداری را تجربه کرده‌اند؛ شامل تهران، تبریز، بندرانزلی، سرپل ذهاب، اسلام‌آباد غرب، خرم‌آباد، کرمانشاه، دزفول، اصفهان، زابل و جاسک هستند. لازم به ذکر است که بر روی برخی ایستگاه‌ها که تقریباً ۲۳ درصد از ایستگاه‌های مورد واکاوی را شامل شود، طول دوره گرما ایستاست و آهنگ وردایی صفر است. به لحاظ مکانی ایستگاه‌های واقع در غرب، حاشیه دریای خزر، بهطور کلی شمال شرق و تا حدودی مناطق مرکزی و جنوبی ایران زمین چنین شرایطی را تجربه کرده‌اند. آهنگ وردایی طول دوره گرما برای ایستگاه سرارود $13/3$ - روز و برای ایستگاه سندنج $3/8$ - روز بهازای هر دهه محاسبه شد. ایستگاه تبریز با آهنگ وردایی افزایشی ۱۰ روز بهازای هر ده سال بالاترین آهنگ وردایی را در سطح اطمینان ۹۰ درصد بر روی گستره ایران زمین تجربه کرده است.

در ایستگاه‌های مورد واکاوی در مقایسه با آغاز دوره گرما، وردایی معنادار کمتری را تجربه کرده‌اند. به لحاظ آماری، وردایی پایان دوره گرما بر روی تقریباً ۴۵ درصد از ایستگاه‌های مورد بررسی در سطح اطمینان ۹۰ درصد معنادار بوده است. بهطور متوسط آهنگ وردایی زمان پایان دوره گرما بر روی ایران زمین ۲/۹۷ روز بهازای هر دهه است. لازم به ذکر است که بر روی اغلب ایستگاه‌هایی واقع در ایران میانی، نیمهٔ شرقی ایران زمین و به‌طور پراکنده در غرب و جنوب‌غرب کشور روند معناداری مشاهده نشد؛ اما در ایستگاه‌های کرانهٔ جنوبی دریای خزر، حاشیه دریای عمان و به‌طور پراکنده در مناطق مرکزی، شمال‌شرق و غرب کشور پایان دوره گرما در سطح اطمینان ۹۰ درصد معنادار بوده است. معناداری وردایی پایان دوره گرما در ایستگاه‌های سمنان و سرارود در سطح اطمینان ۹۹ درصد معنادار است و میزان وردایی پایان فصل گرما برای این دو ایستگاه به ترتیب ۷/۱ و ۱۱- است که بیانگر شبیهٔ کاهشی پایان دوره گرما بر روی آن‌هاست. بر روی ۲۲ درصد از ایستگاه‌های مورد واکاوی وردایی پایان دوره گرما در طول دوره مورد مطالعه، مانا و ایستا بوده است که به لحاظ پراکنش مکانی اغلب در غرب ایران زمین بر روی رشته‌کوه‌های زاگرس و تا حدود بسیار اندک سواحل دریای خزر و دریای عمان و مناطق مرکزی قرار دارند. اگرچه پایان دوره گرما بر روی ایستگاه‌هایی واقع در مناطق یادشده، وردایی معناداری را در طول دوره گرما از خود نشان نمی‌دهند؛ ولی زمان آغاز دوره گرما بر روی مناطق یادشده، تغییرات معناداری را تجربه کرده‌اند. همان‌طور که بیان شد، آغاز دوره گرما در این مناطق با میزان آهنگ وردایی قابل ملاحظه‌ای در سطح اطمینان ۹۰ درصد معنادار بود. بر روی ایستگاه‌های زاهدان، اهواز، کرمانشاه، تهران و تبریز برخلاف سایر ایستگاه‌های دیگر، آهنگ وردایی پایان دوره گرما افزایشی است و نرخ این وردایی به ترتیب ۲، ۳/۰۷، ۴،

و جاسک، معناداری روند سایر ایستگاه‌ها در سطح اطمینان ۹۰ درصد تأیید نشد. به طور کلی شتاب بیشتر آهنگ کاهشی آغاز فصل گرم نسبت به آهنگ کاهشی پایان آن منجر به افزایش طول دوره گرما در ایستگاه‌های مورد واکاوی و گستره ایران زمین شده است.

ایستگاه زابل نیز با میزان ۹/۲ روز در سطح اطمینان تغییرات معنادار مشابهی را از خود نشان داده است. ایستگاه‌های بیجار، همدان، بندرانزلی، خوی، رشت، ایرانشهر، جاسک و بندرعباس دارای آهنگ وردایی کاهشی بودند. لازم به ذکر است از میان هشت ایستگاه فوق به استثنای ایستگاه‌های بندرانزلی



شکل ۶: (الف) وردایی آغاز دوره گرما، آهنگ وردایی (آبی) و معناداری (قرمز) آن طی دوره مورد واکاوی بر روی ایران زمین
 (ب) وردایی پایان دوره گرما، آهنگ وردایی (آبی) و معناداری (قرمز) آن طی دوره مورد واکاوی بر روی ایران زمین
 (ج) وردایی طول دوره گرما، آهنگ وردایی (آبی) و معناداری (قرمز) آن طی دوره مورد واکاوی بر روی ایران زمین

تهیه و ترسیم: نگارندگان، ۱۳۹۸

بهار زودتر از موعد همیشگی خود شروع می‌شود. بیشترین آهنگ وردایی کاهشی آغاز دوره گرما مربوط به ایستگاه زابل است که نرخ آن برابر با ۱۲ روز بهار از هر دهه است؛ به عبارت دیگر، آغاز فصل بهار و شروع گرما بر روی ایستگاه یادشده از اوخر دهه سوم بهمن شروع می‌شود.

پایان دوره گرما در ایستگاه‌های مورد واکاوی در مقایسه با آغاز دوره گرما، وردایی معنadar کمتری را تجربه کرده‌اند. به لحاظ آماری وردایی پایان دوره گرما بر روی تقریباً ۴۵ درصد ایستگاه‌های مورد بررسی در سطح اطمینان ۹۰ درصد معنadar بوده است. بر روی اغلب ایستگاه‌های واقع در ایران میانی، نیمه شرقی ایران زمین و به طور پراکنده در غرب و جنوب‌غرب کشور روند معنadar مشاهده نشد؛ اما در ایستگاه‌های کرانه جنوبی دریای خزر، حاشیه دریای عمان و به طور پراکنده در مناطق مرکزی، شمال شرق و غرب کشور پایان دوره گرما در سطح اطمینان ۹۰ درصد معنadar بوده است. بر روی ۲۲ درصد از ایستگاه‌های مورد واکاوی وردایی پایان دوره گرما در طول دوره مورد مطالعه، مانا و ایستا بوده است که به لحاظ پراکنش مکانی اغلب در غرب ایران زمین بر روی رشته کوه‌های زاگرس و تاحدود بسیار اندک سواحل دریای خزر و دریای عمان و مناطق مرکزی قرار دارند. اگرچه پایان دوره گرما بر روی ایستگاه‌های واقع در مناطق یادشده، وردایی معنadar را در طول دوره آماری از خود نشان نمی‌دهند؛ ولی زمان آغاز دوره گرما بر روی مناطق یادشده، وردایی معنadar را تجربه کرده‌اند. همان‌طور که یاد شد، آغاز دوره گرما در این مناطق با میزان آهنگ وردایی قابل ملاحظه‌ای در سطح اطمینان ۹۰ درصد معنadar بود. بر روی ایستگاه‌های زاهدان، اهواز، کرمانشاه، تهران و تبریز برخلاف سایر ایستگاه‌های دیگر آهنگ وردایی پایان دوره گرما افزایشی است و نرخ این وردایی به ترتیب ۲، ۳/۰۷، ۴،

نتیجه

هدف از انجام این پژوهش شناسایی فصول دمایی بر روی گستره ایران زمین بود. برای انجام آن از داده‌های روزانه دمای مربوط به ۴۹ ایستگاه همید بروی ایران طی بازه زمانی ۱۳۷۰/۱/۱ تا تاریخ ۱۳۹۲/۱۲/۲۹ خورشیدی بهره گرفته شد. شناخت فصول دمایی برپایه روش انحراف معیار انجام شد. با اعمال تحلیل خوشای به روش وارد، نواحی تقویمی دمایی پنهان‌بندی شد و درنهایت معنadarی روند به کمک آزمون ناپارامتریک منکنال در سطح اطمینان ۹۵ درصد آزمون و برای برآورد نرخ تغییرات از تخمین گر شبی سن بهره گرفته شد. شواهد موجود در این پژوهش نشان داد که بر پایه انحراف معیار گستره ایران زمین به ۴ ناحیه همگن فصول دمایی تقسیم شد. زمان آغاز، پایان و طول دوره گرم در هر ۴ ناحیه کاملاً با همیدیگر متمایز بود. بر پایه یافته‌های این پژوهش عرض جغرافیایی، دوری و نزدیکی به پنهان‌های آبی، ارتفاع و رطوبت جوی سهم ویژه‌ای در لانه‌گزینی مکانی نواحی شناخته شده دارند. طبق نتایج به دست آمده از برآش از آزمون منکنال اصلاح شده بر روی سری زمانی داده‌های آغاز دوره گرم وردایی حدود ۶۷/۵ درصد از ایستگاه‌های مورد واکاوی (۳۳ ایستگاه) در سطح اطمینان ۹۰ درصد معنadar بوده است. بر روی اغلب ایستگاه‌های دارای روند معنadar، آهنگ وردایی کاهشی است. به طور متوسط میانگین آهنگ کاهشی زمان آغاز دوره گرما طی دوره مورد واکاوی ۴/۵ روز بهار از دهه است. کاهش زمان شروع دوره گرم به لحاظ مکانی در ایستگاه‌های واقع در مناطق شمالی کشور، کرانه‌های جنوبی دریای خزر، شمال غرب، غرب، رشته کوه‌های البرز، جنوب شرق و به طور محدودی در شمال شرق گستره ایران زمین مشاهده می‌شود؛ به بیانی دیگر، این مطلب گویای آن است که بر روی ایران زمین فصل

منابع

- احمدی، حمزه؛ طالب احمدی (۱۳۸۹). آشکارسازی تغییرات سالانه و فصلی دمای شهرستان ایلام، دومین همایش علمی سراسری دانشجویی جغرافیا.
- براتی، غلامرضا؛ سیدشفیع موسوی (۱۳۹۴). جابجایی مکانی موج های زمستانی گرما در ایران، جغرافیا و توسعه. ۴۱-۵۲.
- حیدری، حسن؛ بهلول علیجانی (۱۳۷۸). طبقه‌بندی اقلیمی ایران با استفاده از تکنیک‌های آماری چند متغیره، پژوهش‌های جغرافیایی. شماره ۱۴۱۹.
- دارند، محمد (۱۳۹۰). تحلیل همدید سرمهای فرین ایران، پایان‌نامه دکتری رشته جغرافیای طبیعی گرایش اقلیم‌شناسی دانشگاه اصفهان.
- دارند، محمد (۱۳۹۳). واکاوی تغییرات مقادیر حدی بارش و دما در ارومیه به عنوان نشانه‌هایی از تغییر اقلیم، نشریه پژوهش‌های حفاظت آب و خاک. ۱-۲۹: ۲۱.
- عساکر، حسین (۱۳۸۸). تحلیل چرخه‌های میانگین سالانه دمای شهر زنجان، جغرافیا و توسعه. ۱۱-۲۳: ۱۹.
- عساکر، حسین (۱۳۹۰). مبانی اقلیم‌شناسی آماری، انتشارات دانشگاه زنجان. چاپ اول. سال ۱۳۹۰.
- علیجانی، بهلول (۱۳۷۷). تعیین فصول طبیعی ایران، مجله پژوهش‌های جغرافیایی. شماره ۳۵. ۲۱-۳۳.
- کاویانی، محمدرضا؛ حسین عساکر (۱۳۸۰). بررسی و مدل‌سازی روند دما طی سده گذشته (مطالعه موردي: ایستگاه حاسک)، دانشکده ادبیات و علوم انسانی اصفهان (مطالعات و پژوهش‌های دانشکده ادبیات و علوم انسانی). پاییز و زمستان. شماره ۲۶ و ۲۷. ۱۹-۳۸.
- مسعودیان، سیدابوالفضل (۱۳۸۲). نواحی اقلیمی ایران. جغرافیا و توسعه، بهار و تابستان، شماره ۲. ۱۷۱-۱۸۴.
- مسعودیان، سیدابوالفضل (۱۳۸۳). بررسی روند دمای ایران در نیم سده گذشته، جغرافیا و توسعه. بهار و تابستان. شماره ۳. ۸۹-۱۰۶.
- منتظری، مجید (۱۳۹۰). شناسایی فصول دمایی ایران به روشن تحلیل خوش‌های، فصلنامه تحقیقات جغرافیایی. سال ۲۶. شماره دوم، شماره پیاپی ۱۰۱.

۰/۷۷، ۲ روز بهازی هر دهه است. بهطور کلی سهم آهنگ کاهشی آغاز دوره گرم در افزایش طول دوره به مراتب بیشتر از سهم افزایش پایان دوره گرم با روی گستره ایران زمین است. همچنین یافته‌ها نشان داد که بر روی ۲۰ درصد از ایستگاه‌های واقع در گستره ایران زمین (تهران، تبریز، بندرانزلی، سرپل ذهاب، اسلام‌آباد غرب، خرم‌آباد، کرمانشاه، دزفول، اصفهان، زابل و جاسک) آهنگ وردایی طول دوره گرم در سطح اطمینان ۹۰ درصد معنادار است. بر روی تقریباً ۲۳ درصد از ایستگاه‌ها طول دوره گرم ایستا و آهنگ وردایی صفر است. ایستگاه تبریز با آهنگ وردایی افزایشی ۱۰ روز بهازی هر ده سال بالاترین آهنگ وردایی را در سطح اطمینان ۹۰ درصد بر روی گستره ایران زمین تجربه کرده است. ایستگاه زابل نیز با میزان ۹/۲ روز در همان سطح اطمینان تغییرات معنادار مشابهی را از خود نشان داده است. بهطور کلی شتاب بیشتر آهنگ کاهشی آغاز فصل گرم نسبت به آهنگ کاهشی پایان آن منجر به افزایش طول دوره گرم در ایستگاه‌های مورد واکاوی و گستره ایران زمین شده است. افزایش طول دوره گرم و جابه‌جایی زمان آغاز دوره گرم و زمان پایان دوره گرم نقش بسیار مهمی بر بسیاری از فعالیت‌های انسانی به‌ویژه کشاورزی خواهد داشت. بهطور کلی هر گونه تغییر در میزان دما، پیشروی یا پسروی دوره گرم که در نهایت منجر به افزایش طول دوره گرم می‌شود و با توجه به اینکه افزایش طول دوره گرم کل دوره رشد و زمان رسیدگی (کاشت تا برداشت)، آبیاری، گل‌دهی، مراحل فنولوژیکی گیاه را تحت تأثیر قرار می‌دهد؛ بنابراین راهکارهای سازگار با تغییر شرایط اقلیم دمایی از جمله تغییر الگوی کشت یا تغییر در زمان کشت و برداشت را می‌توان اتخاذ کرد.

- Gadgil, S & Joshi, N.V (1983). Climatic, Cluster of the Indian, region. *J. Climatol*, 3: 47-63.
- Klein Tank, A.M.G. konnen G. P. and Selten, F. M (2005). Signals of anthropogenic influence on European warming, as seen in the trend pattern of daily temperature variance, *Int. J. Climato*, 25: 1-16.
- Mann, M. E. and Park, J (1996). Greenhouse warming and changes in the seasonal cycle of temperature: Model versus observations. *Geophys. Res. Lett.* 23: 1111-1114.
- Qian, C. and Zhang, X. B (2015). Human influences on changes in the temperature seasonality in mid- to high-latitude land areas. *Journal of Climate*, 28: 5908-5921.
- Screen, J. A and Simmonds, I (2010). Increasing fall-winter energy loss from the Arctic Ocean and its role in Arctic temperature amplification. *Geophys. Res. Lett.*, 37, L16707. doi:10.1029/2010GL044136.
- Serreze, M.C. Barrett, A.P. Stroeve, J.C. Kindig, D.N. and Holland, M.M. (2009). The emergence of surface-based Arctic amplification. *Cryosphere*, 3:11-19. doi: 10.5194/tc-3-11-2009.
- Stine, A.R. and Huybers, P. (2012). Changes in the Seasonal Cycle of Temperature and Atmospheric Circulation. *Journal of Climate*. 25: 7362-7380.
- Stott, p. Stone, D. and Allen, M. (2004). Human Contribution to the European heat wave of 2003, *Nature*, 432: 610-614.
- Thornthwaite, C.M. (1931). Climates of North America according to a new classification, *Geogr. Rev*, 21: 633-655.
- Wang, G. and Dillon, M. E (2014). Recent geographic convergence in diurnal and annual temperature cycling flattens global thermal profiles. *Nat. Clim. Change* 4: 988-992.
- Weisheimer, A. and Palmer, T. N (2005). Changing Frequency of occurrence of extreme seasonal temperature under global warming, *Geophys. Res. Lett.*, 32 20721. doi: 10.1029/2005GL023365.
- منظری، مجید؛ سیدابوالفضل مسعودیان (۱۳۹۲). *تقویم دمایی روزهنجام ایران، جغرافیا و توسعه*. شماره ۱-۱۴.۳۱
- نظریپور، حمید؛ رشید سعیدآبادی (۱۳۹۱). *تعیین فصول اقلیمی زاهدان با روش تحلیل خوشه ای، جغرافیا و توسعه*. شماره ۲۶.۸۷-۹۷.
- Alexander, L. V et al (2006). Global observed changes in daily climate extremes of temperature and precipitation, *Journal of Geophysical Research*, 111:1-22.
- Anyadyke, R. N. C (1987). A multivariate classification and regionalization of west African climates, *International journal of climatology*, 7:157-164.
- Bartolini, G et al (2008). Recent trends in Tuscany (Italy) summer temperature and indices of extremes, *International journal of climatology*, 28: 1751-1760.
- Bhutiyani, M.R, Kale, V.S. and Pawar, N.J. (2007). Long-term trends in maximum, minimum and mean annual air temperatures across the Northwestern Himalaya during the twentieth century, *Climate Change*, 85: 159-177.
- Bye, J. Fraedrich, K. Schubert, S. and Zhu. X. (2013). The Changing Length of the Warming Period of the Annual Temperature Cycle in the High Latitudes under Global Warming. *Atmosphere - Ocean*, 51:309-318. doi:10.1080/07055900.2013.793594.
- Christidis, N.P, Stott, A. Brown, S. Hegerl, G.C. and Caesar, J. (2005). Detection of changes in temperature extremes during the second half of the 20th century, *Geophys. Res. Lett.* 32, L2716. doi: 10.1029/2005GL023885.
- Duan, J et al (2017). Weakening of annual temperature cycle over the Tibetan Plateau since the 1870s. *Nature Communications*, 8:14008, doi: 10.1038.
- Fovell, R.G (1992). Problems associated with inclusion of redundant and irrelevant variables in clusters analysis. Proc. 17th climate Diagnositce workshop, Norman, ok, Natl Oceanic Atome. Admin, 380-383.



پژوهشگاه علوم انسانی و مطالعات فرهنگی
پرستال جامع علوم انسانی